

# مدلی ریاضی برای طراحی خط تولید با رویکرد بهینه‌سازی پایابی در شرایط عدم قطعیت

فریز جولاوی\*

دانشکده‌ی هندسی صنایع، پردیس دانشکده‌های فنی دانشگاه تهران

سیحان جویبار (دکتری)

محمدعلی زایع شوریجه (دانشجوی دکتری)

دانشکده‌ی مدیریت، دانشگاه تهران

در تحقیقات مرتبط با بهینه‌سازی پایابی قابلیت اطمینان اغلب کمتر به جنبه‌های کاربردی آن توجه شده است. هدف از ارائه این مقاله استفاده از مسئله‌ی بهینه‌سازی پایابی در طراحی خط تولید است. در این مقاله یک مدل برنامه‌ریزی چندهدفه‌ی غیرخطی عدد صحیح با پارامترهای فاصله‌یی برای مسئله‌ی طراحی خط تولید مبتنی بر استقرار محصولی و راهبرد نظریه‌ی محدودیت‌ها با درنظرگرفتن پایابی در شرایط عدم قطعیت ارائه شده است. هدف از ارائه این مدل، تعیین تعداد بهینه‌ی خطوط تولید مورد نیاز برای تولید محصولات با درنظرگرفتن محدودیت‌های بودجه، فضای، ظرفیت و تقاضای محصولات است؛ به نحوی که قابلیت اطمینان کل سیستم بهینه و هزینه‌ی کل نگهداری و کمبود موجودی کمینه شود. برای آزمون مدل، سه مثال عددی ارائه شده است که نتایج، مطلوب بودن مدل پیشنهادی را نشان می‌دهد.

fjolai@ut.ac.ir  
sobhan.jooybar@ut.ac.ir  
maz.shourijeh@ut.ac.ir

وازگان کلیدی: طراحی خط تولید، بهینه‌سازی چندهدفه، پایابی، عدم قطعیت.

## ۱. مقدمه

موسوم به مسئله‌ی بهینه‌سازی پایابی است. بهینه‌سازی پایابی در انواع سیستم‌های سری، موازی، موازی - سری و سری - موازی مورد توجه محققان بسیاری قرار گرفته است. این مسئله از جنس مسائل NP-Hard است<sup>[۱]</sup> که برای حل آن نمی‌توان از روش‌های بهینه‌سازی دقیق<sup>۱</sup> استفاده کرد. مثلاً<sup>۲</sup> به ارائه‌ی یک الگوریتم فراابتکاری مبتنی بر بهینه‌سازی ازدحام ذرات<sup>۳</sup> برای حل انواع مسائل پایابی در شرایط قطعیت<sup>۴</sup> پرداخته است. به طور کلی پیشنهادهای این زمینه‌ی پژوهشی چندان غنی نیست. با وجود این، در ادامه به برخی از تحقیقات مرتبط اشاره خواهیم کرد. شاید یکی از دلایل عدم استقبال نویسنده‌گان برای ترکیب مفاهیم پایابی و طراحی خط تولید دشواری حل این نوع مسائل چندهدفه با روش‌های دقیق باشد.

بنت و جنی<sup>[۵]</sup> اظهار می‌دارند که برخلاف عامل‌های سنتی اشاره شده در پاراگراف پیشین توجه سبتاً کمی به پیشنهاد کردن عامل‌هایی چون پایابی شده است. آن‌ها در پژوهش خود سعی می‌کنند با وارد کردن مفاهیم نرخ خرایی، پایابی و تحلیل‌های آماری رفتار بلندمدت سیستم‌ها در این راستا گام بردارند. چانگ و همکاران<sup>۶</sup> نیز با درنظر گرفتن ملاحظات پایابی به وسیله‌ی یک الگوریتم جستجوی منوع به حل مسئله‌ی تولید سلول‌های کاری می‌ادرت ورزیدند.<sup>[۷]</sup> محققان دیگری در مرجع<sup>[۸]</sup> با استفاده از برنامه‌ریزی عدد صحیح مختلط چندهدفه مشتمل بر کمینه‌سازی هزینه‌های سیستم و بیشینه‌سازی پایابی مدلی برای طراحی سیستم تولید سلولی ارائه

به طور سنتی در طراحی سیستم‌های تولیدی همواره پارامترهای مهمی چون میزان تقاضای بازار برای هر محصول، فضای مورد نیاز برای استقرار ماشین‌آلات و ایستگاه‌های کاری، منابع مالی در دسترس مدیران و ظرفیت تولید در نظر گرفته می‌شود.<sup>[۹]</sup> از سوی دیگر می‌دانیم که عدم پاسخ به تقاضای بازار ممکن است به از دست دادن مشتری و سهم بازار و به تبع آن رشد هزینه‌ی فرصت‌های رفته شود. یکی از مهمترین دلایل کاهش تولید و از دست رفتن مشتریان بالقوه، از کار افتادگی سیستم‌های تولیدی به عمل خرابی‌های اجزای تولید و وقفه در تولید است. کاهش تولید و نیز ضایعات حاصل از خرابی سیستم‌های تولیدی همواره مورد توجه تولیدکنندگان بوده است.<sup>[۱۰]</sup> یکی از راه‌های نیل به این هدف بالا بردن قابلیت اطمینان سیستم است. بنابراین، باید علاوه بر پارامترهای سنتی ذکر شده هم‌زمان بیشینه‌سازی پایابی سیستم تولیدی (کمینه کردن از کار افتادگی سیستم) مورد توجه جدی مدیران قرار گیرد.<sup>[۱۱]</sup> به طور کلی پایابی یک سیستم توانایی آن سیستم برای تحقق هدفی که برای آن طراحی شده در یک دوره‌ی زمانی مشخص است.<sup>[۱۲]</sup> مسئله‌ی طراحی یک سیستم با پایابی بالا با درنظر گرفتن محدودیت منابع چون بودجه، وزن، اندازه وغیره

\* نویسنده مسئول

تاریخ: دریافت ۲۱، ۱۳۹۶/۳/۲۱، اصلاحیه ۱۰/۱۰، پذیرش ۱۳۹۶/۱۰/۳۰

DOI:10.24200/J65.2019.7214.1758

کردنده، کومرل<sup>۷</sup> با هدف طراحی یک سیستم مدیریت بهداشت و اینمنی در صنعت معدن مدلی مبتنی بر بهینه‌سازی پایابی ارائه داد.<sup>[۱۰]</sup>

واسودون و همکاران<sup>۸</sup> مفاهیم الرازات فضای کاری و چیدمان تسهیلات را با مفاهیم پایابی و بهره‌وری یک کارخانه‌ی فولاد به طور ترکیبی بررسی کردند.<sup>[۱۱]</sup> در تحقیق دیگری درباره‌ی خطوط تولید مواد غذایی، نویسنده‌گان برخلاف رویکرد معمول طراحی استگاه‌های کاری براساس اجتناب از گلوگاه<sup>۹</sup> برای کمینه کردن وقایعه‌های تولیدی از مفاهیم پایابی بهره برden.<sup>[۲]</sup> در مجموع، با مروری که توسط نویسنده‌گان بر پیشیه‌ی محدود این زمینه پژوهشی صورت گرفت، مشاهده شد که بیشتر این پژوهش‌ها (ترکیب طراحی خطوط تولید و پایابی) نیز مربوط به ساخت سلول در سیستم‌های تولید سلولی است.<sup>[۱۷-۱۲,۹]</sup>

در اینجا عملگرهای ریاضی مانند جمع، تفریق، ضرب اسکالر، ضرب، تقسیم و توان اعداد فاصله‌ی<sup>[۱۸]</sup> تشریح می‌شوند. این عملگرهای حساب فاصله‌ی نامیده  $B = [b_L, b_R] = \langle b_C, b_W \rangle$  و  $A = [a_L, a_R] \langle a_C, a_W \rangle$  باشند:

$$A + B = [a_L + b_L, a_R + b_R], A + B = \langle a_c + b_c \rangle$$

$$A - B = [a_L - b_R, a_R - b_L]$$

$$\lambda A = \begin{cases} \lambda a_L, \lambda a_R & \text{if } \lambda \geq 0 \\ \lambda a_R, \lambda a_L & \text{if } \lambda < 0 \end{cases} \quad \lambda A = \lambda \langle a_C, a_W \rangle = \langle \lambda a^C, |\lambda| a_W \rangle$$

$$A \times B = [\min(a_L b_L, a_L b_R, a_R b_L, a_R b_R),$$

$$\max(a_L b_L, a_L b_R, a_R b_L, a_R b_R)]$$

$$\frac{B}{A} = B \times \frac{1}{A} = [b_L, b_R] \times [\frac{1}{a_R}, \frac{1}{a_L}], \quad \circ \notin [a_L, a_R]$$

$$A^n = \begin{cases} [1, 1] & \text{if } n = 0 \\ [a_L^n, a_R^n] & \text{if } a_L \geq 0 \text{ or } n \text{ even} \\ [a_R^n, a_L^n] & \text{if } a_R \leq 0, n \text{ odd} \\ [0, \max(a_L^n, a_R^n)] & \text{if } a_L \leq 0 \leq a_R, n > 0 \end{cases}$$

$$(A)^{\frac{1}{n}} = [a_L, a_R]^{\frac{1}{n}} = \sqrt[n]{[a_L, a_R]} =$$

$$\begin{cases} [\sqrt[n]{a_L}, \sqrt[n]{a_R}] & \text{if } a_L \geq 0 \text{ or } n \text{ even} \\ [0, \sqrt[n]{a_R}] & \text{if } a_L \leq 0, a_R \geq 0, n \text{ odd} \\ [\phi] & \text{if } a_R < 0, n \text{ odd} \end{cases}$$

## ۱.۲. میانگین و واریانس

اگر  $X_i = [X_{iL}, X_{iR}], i = 1, 2, \dots, n$  امین عدد فاصله‌ی باشد، میانگین، واریانس و انحراف استاندارد برابر است با:

$$\bar{X} = \left[ \frac{1}{n} \sum_{i=1}^n x_{iL}, \frac{1}{n} \sum_{i=l}^n x_{iR} \right], \quad var(X) = \frac{1}{n} \sum_{i=l}^n \left( \left[ x_{iL} - \frac{1}{n} \sum_{i=l}^n x_{iR}, x_{iR} - \frac{1}{n} \sum_{i=l}^n x_{iL} \right] \right)^2$$

$$\sigma_x = \sqrt{var(X)} =$$

$$\sqrt{\frac{1}{n} \sum_{i=1}^n \left( \left[ x_{iL} - \frac{1}{n} \sum_{i=l}^n x_{iR}, x_{iR} - \frac{1}{n} \sum_{i=l}^n x_{iL} \right] \right)^2}$$

**۲. ریاضیات فاصله‌ی**  
یک عدد فاصله‌ی  $A$  یک بازه‌ی بسته است که به صورت

کردنده، کومرل<sup>۷</sup> با هدف طراحی یک سیستم مدیریت بهداشت و اینمنی در صنعت معدن مدلی مبتنی بر بهینه‌سازی پایابی ارائه داد.<sup>[۱۰]</sup>

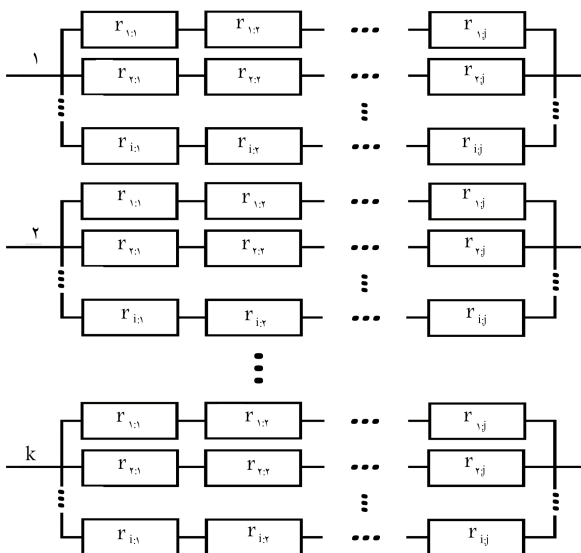
واسودون و همکاران<sup>۸</sup> مفاهیم الرازات فضای کاری و چیدمان تسهیلات را با مفاهیم پایابی و بهره‌وری یک کارخانه‌ی فولاد به طور ترکیبی بررسی کردند.<sup>[۱۱]</sup> در تحقیق دیگری درباره‌ی خطوط تولید مواد غذایی، نویسنده‌گان برخلاف رویکرد معمول طراحی استگاه‌های کاری براساس اجتناب از گلوگاه<sup>۹</sup> برای کمینه کردن وقایعه‌های تولیدی از مفاهیم پایابی بهره برden.<sup>[۲]</sup> در مجموع، با مروری که توسط نویسنده‌گان بر پیشیه‌ی محدود این زمینه پژوهشی صورت گرفت، مشاهده شد که بیشتر این پژوهش‌ها (ترکیب طراحی خطوط تولید و پایابی) نیز مربوط به ساخت سلول در سیستم‌های تولید سلولی است.<sup>[۱۷-۱۲,۹]</sup>

در بسیاری از تحقیقات انجام شده درباره‌ی پایابی فرض می‌شود که تمام احتمالات به شکل دقیق مشخص هستند. بدین معنی که هر یک از احتمالات به نحو خوبی قابل اندازه‌گیری هستند و اطلاعات احتمالی کاملی درباره‌ی سیستم و رفتار اجرای آن وجود دارد. برای تکمیل اطلاعات احتمالی دو شرط باید برقرار باشد: ۱. تمام توزیع‌های احتمالات مشخص یا به شکل خوبی قابل اندازه‌گیری باشند و ۲. اجزای سیستم مستقل‌اند، یعنی تمام متغیرهای تصادفی توصیف کننده‌ی رفتار پایابی اجرای مستقل‌اند. در صورتی که حداقل یک شرط برقرار نباشد می‌توان از پایابی غیرقطعی (به عنوان مثال، اعداد فاصله‌ی یا فازی) استفاده کرد.<sup>[۱۸]</sup> در دنیای واقعی در بسیاری از موارد که زمان چندانی از راه اندازی سیستم نگذشته است یا فقط در قالب یک پروژه کار می‌کند، داده‌های آماری دقیقی وجود ندارد؛ بنابراین پایابی یک جزء از سیستم عدد نادقیقی است که می‌تواند به وسیله‌ی عددی فاصله‌ی یا فازی<sup>[۱۹]</sup> تعریف و به کمک قواعد احتمالات غیرقطعی محاسبه شود.

مسئله‌ی بهینه‌سازی پایابی در شرایط عدم قطعیت نیز مورد توجه محققان قرار گرفته است. به عنوان مثال در مرجع<sup>[۲۰]</sup> اثر عدم قطعیت داده‌های پایابی ماشین‌آلات بر طراحی و عملیات سیستم‌های تولیدی بررسی شده است. بونیا و همکاران<sup>[۱۸]</sup> این مسئله را برای یک سیستم سری - موازی با داده‌های فاصله‌ی و فرض محدودیت‌های تصادفی توسعه داده و با الگوریتم زنیک حل کرده‌اند. همچنین شاهو و همکاران<sup>[۱۱]</sup> در مرجع<sup>[۲۱]</sup> مسئله‌ی بهینه‌سازی پایابی را برای یک سیستم سری - موازی به شکل چنددهده با محدودیت‌های قطعی و با روشی دو مرحله‌ی مبتنی بر الگوریتم زنیک حل کرده‌اند. در مرجع<sup>[۲۲]</sup> الگوریتم شبیه‌سازی تبرید برای حل مسائل بهینه‌سازی پایابی برای سیستم‌های سری - موازی با فرض فازی بودن پارامترهای توزیع احتمال عمر اجرا به کار رفته است.

در این مقاله نویسنده‌گان به دنبال طراحی یک سیستم موازی - سری هستند که در آن هر یک از اجرای معرف ماشین‌هایی از انواع مختلف و هر ردیف مبین یک خط تولید است که تمام این خطوط تولید، محصولی یکسان تولید می‌کنند. هدف یافتن تعداد خطوط بهینه‌ی تولید با در نظر گرفتن محدودیت بودجه، فضا و تقاضای بازار برای محصول است. تقاضا احتمالی است و توزیع عمر ماشین‌ها نمایی با پارامترهای فاصله‌ی است. در ادامه ابتدا ریاضیات فاصله‌ی و سپس مدل ریاضی به همراه مفروضات آن و سه مثال عددی و روش حل تشریح می‌شود.

- ۳. فرمول بندی مسئله**
- پیش از بیان مدل ریاضی مسئله لازم است که مفروضات مدل مطرح شود. سیستم مزبور مطابق شکل ۱ خواهد بود. این سیستم دارای  $\bar{k}$  زیرسیستم است. هر زیرسیستم دارای  $\bar{n}$  ردیف و هر ردیف دارای  $\bar{z}$  جزء است که در اینجا اجزا ماشین‌ها هستند و هر ردیف نشان‌دهنده یک خط تولید است. کاربرد این سیستم در صنعت به وفور قابل مشاهده است. مثلاً شرکتی که هم‌زمان به تولید نوشابه، آب معدنی و ماء‌الشعیر مشغول است، نمونه‌یی از این نوع سیستم می‌تواند باشد. مفروضات این مدل عبارت‌اند از:
۱. زیرسیستم‌های تولیدی مستقل از یکدیگر هستند؛ بنابراین دارای پایابی‌های مستقل‌اند.
  ۲. تمام ردیف‌های هر زیرسیستم دارای ماشین‌هایی از زنوع مختلف هستند.
  ۳. عمر مفید هر ماشین توزیع نمایی با پارامتر فاصله‌یی است.
  ۴. مدل در یک افق برنامه‌ریزی  $[T, T^0]$  تعریف می‌شود.
  ۵. هزینه‌ی نگهداری کالای در جریان ساخت قابل اغماض است.
  ۶. زمان جایه‌جایی محصول نیمه‌ساخته از یک ماشین به ماشین دیگر قابل اغماض است.
  ۷. تقاضای محصول نهایی تصادفی و دارای یکتابع توزیع مشخص است.
  ۸. سیستم تولید بر اساس استقرار محصولی است.
  ۹. راهبرد برنامه‌ریزی تولید بر اساس نظریه‌ی محدودیت‌هاست.
- نمادگذاری**
- $h$ : هزینه‌ی نگهداری هر محصول نهایی در انبار؛  
 $\psi$ : هزینه‌ی کمبود به ازای هر واحد؛  
 $k$ : زیرسیستمی که در آن محصول  $k$ ام تولید می‌شود ( $k = 1, 2, \dots, \bar{k}$ )  
 $\lambda_j = [\lambda_{jkl}, \lambda_{jkR}]$ : پارامتر توزیع نمایی برای عمر مفید هر ماشین از نوع  $j$ ام ( $j = 1, 2, \dots, n$ )  
 $C_k$ : هزینه‌ی راهاندازی هر خط تولید در زیرسیستم  $k$ ام؛  
 $B$ : بودجه‌ی کل در اختیار برای راهاندازی خطوط تولید؛  
 $s_k$ : فضای مفید مورد نیاز برای راهاندازی هر خط تولید در زیرسیستم  $k$ ام؛



شکل ۱. سیستم موازی - سری.

- ۲.۲. روابط (کوچک‌تر، بزرگ‌تر و مساوی) اعداد فاصله‌یی**
- اگر  $A$  و  $B$  دو عدد فاصله‌یی باشند، این دو عدد یکی از سه حالت زیر را خواهند داشت:
- نوع ۱:  $A < B$  یعنی  $a_C < b_C$  و  $a_W < b_W$ .
  - نوع ۲:  $A = B$  یعنی  $a_C = b_C$  و  $a_W = b_W$ .
  - نوع ۳:  $A > B$  یعنی  $a_C > b_C$  و  $a_W > b_W$ .
- در منبع [۱۸] تعاریف گوناگونی برای روابط میان اعداد فاصله‌یی مطرح شده است. به طور کلی دو نوع تصمیم‌گیری وجود دارد. تصمیم‌گیری خوش‌بینانه و بدینانه. در نوع خوش‌بینانه، تصمیم‌گیرنده بهترین گزینه را بدون در نظر گرفتن عدم اطمینان لحاظ می‌کند. در حالی که در نوع بدینانه، تصمیم‌گیرنده بهترین گزینه را با کمی عدم اطمینان انتخاب می‌کند.

**تعریف ۱. رابطه‌ی  $\leq$**  برای دو عدد فاصله‌یی  $\leq$  در حالت خوش‌بینانه برای مسئله‌ی کمینه‌سازی  $\min$  به صورت زیر تعریف می‌شود:

$$A \leq B \Leftrightarrow a_L \leq b_L, A < B \wedge A \neq B$$

بر اساس این تعریف، تصمیم‌گیرنده  $A$  را می‌پذیرد. رابطه‌ی  $\leq$  متقابله با  $\geq$  است. (۸) به معنی «و منطقی» (AND منطقی) است.

**تعریف ۲. رابطه‌ی  $\geq$**  بین دو عدد فاصله‌یی  $\geq$  در حالت خوش‌بینانه برای مسئله‌ی بیشینه‌سازی  $\max$  به صورت زیر تعریف می‌شود:

$$A \geq B \Leftrightarrow a_R \geq b_R, A > B \wedge A \neq B$$

بر اساس این تعریف، تصمیم‌گیرنده  $A$  خوش‌بینانه را انتخاب می‌کند. رابطه‌ی  $\geq$  انعکاسی و تعدی است، اما متقابله.

**تعریف ۳. رابطه‌ی  $<_{pmin}$**  میان دو عدد فاصله‌یی  $B$  در حالت بدینانه برای مسئله‌ی کمینه‌سازی  $pmin$  به صورت زیر خواهد بود:

$$A <_{pmin} B \Leftrightarrow a_c < b_c$$

برای اعداد فاصله‌یی نوع ۱ و ۲

$$A <_{pmin} B \Leftrightarrow a_C \leq b_C \wedge a_W < b_W$$

برای اعداد فاصله‌یی نوع ۳

اما برای عدد فاصله‌یی نوع سوم تصمیم بدینانه نمی‌تواند اتخاذ شود، زمانی که  $a_C < b_C \wedge a_W > b_W$

**تعریف ۴. رابطه‌ی  $>$**  بین دو عدد فاصله‌یی  $>$  در حالت بدینانه برای مسئله‌ی بیشینه‌سازی  $pmax$  به صورت زیر تعریف می‌شود:

$$A >_{pmax} B \Leftrightarrow a_C > b_C$$

برای اعداد فاصله‌یی نوع ۱ و ۲

$$A >_{pmax} B \Leftrightarrow a_C \geq b_C \wedge a_W < b_W$$

برای عدد فاصله‌یی نوع ۳

اما، برای عدد فاصله‌یی نوع ۳ تصمیم بدینانه زمانی که  $a_c < b_C \wedge a_W < b_W$  اتخاذ نمی‌شود.

$$TC = \sum_{k=1}^{\bar{k}} \left[ h \int_{LQ_x}^{Q_k} (Q_k - d_k) f(d_k) dd_k + \Psi \int_{Q_k}^{UQ_k} (d_k - Q_k) f(d_k) dd_k \right] \quad (4)$$

رابطه‌ی ۴ را می‌توان به صورت رابطه‌ی ۵ ساده کرد:

$$TC = \sum_{k=1}^{\bar{k}} \left[ h \int_{qI_{x_k}}^{qx_k} (q_k x_k - d_x) f(d_k) dd_k + \Psi \int_{qx_k}^{Ux_k} (d_k - q_k x_k) f(d_k) dd_k \right] \quad (5)$$

رابطه‌ی ۵ تابع هدف دوم مسئله است که باید کمینه شود. در این رابطه گزاره‌ی اول، بیان‌گر هزینه‌ی نگهداری کالای مازاد بر تقاضای محصول  $k$ ام در دوره‌ی  $T$  است. این هزینه برابر است با مجموع هزینه‌ی نگهداری یک واحد کالا ضرب در مقدار مازاد کالا در دوره‌ی  $T$ . تقاووت میان محصول تولید شده و تقاضای بازار  $(q_k x_k - d_k)$  تعیین کننده‌ی سطح موجودی کالای مازاد است. گزاره‌ی دوم معرف هزینه‌ی کمبود محصول است که برابر با مجموع هزینه‌ی کمبود یک واحد کالا ضرب در مقدار کمبود محصول در دوره‌ی  $T$  است که برابر با تقاووت میان تقاضای بازار و محصول تولید شده  $(d_k - q_k x_k)$  است. بر این اساس مدل ریاضی پیشنهادی در این مقاله به صورت زیر خواهد بود:

Maximize

$$R_s(X) = \sum_{k=1}^{\bar{k}} \left[ 1 - \prod_{i=1}^{x_k} \left( 1 - \prod_{j=1}^n e^{-\lambda_{ijkRT}} \right), 1 - \prod_{i=1}^{x_k} \left( 1 - \prod_{j=1}^n e^{-\lambda_{ijkLT}} \right) \right] \quad (6)$$

Minimize

$$TC = \sum_{k=1}^{\bar{k}} \left[ h \int_{q_k L_{x_k}}^{qx_k} (q_k x_k - d_k) f(d_k) dd_k + \Psi \int_{q_k x_k}^{Ux_k} (d_k - q_k x_k) f(d_k) dd_k \right] \quad (7)$$

St.

$$\sum_{k=1}^{\bar{k}} c_k x_k \leq B \quad (8)$$

$$\sum_{k=1}^{\bar{k}} s_k x_k \leq S \quad (9)$$

$$prob[D_k \leq q_k x_k] \geq 1 - \alpha \quad \forall k = 1, 2, \dots, \bar{k} \quad (10)$$

$$Lx_k \leq x_k \leq Ux_k, \text{ int } \quad \forall k = 1, 2, \dots, \bar{k} \quad (11)$$

محدودیت اول: محدودیت بودجه است مبنی بر این‌که چه تعداد خط تولید برای تولید هر محصول با توجه به بودجه‌ی در دسترس می‌توان راهاندازی کرد. محدودیت دوم: محدودیت فضاست. مجموع فضای خطوط تولید برای تمام محصولات باید کوچک‌تر یا مساوی با کل فضای مفید در دسترس باشد.

$S$ : کل فضای در اختیار برای راهاندازی خط تولید؛  
 $t_{jk}$ : زمان لازم برای تولید یک واحد کالای در جریان ساخت توسط ماشین از نوع  
 $j$ ام ( $j = 1, 2, \dots, n$ ) در زیرسیستم  $k$ ام؛  
 $D_k$ : افق برنامه‌ریزی؛  
 $D_k = f(d_k)$ : تقاضا برای محصول نهایی  $k$ ام در دوره‌ی زمانی  $[T^0, T]$  که متغیری تصادفی با توزیع مشخص است و  $D_k = f(d_k)$ : مقادیر متغیر تصادفی؛  
 $q_k$ : مقدار محصول نهایی تولید شده در هر خط تولید در زیرسیستم  $k$ ام با در نظر گرفتن خواصی‌های رخ داده در دوره‌ی برنامه‌ریزی  $[T^0, T]$ ؛  
 $M_{RT}$ : امید ریاضی زمان تعمیر پس از هر خواصی؛  
 $Q_k$ : مقدار کل تولید محصول  $k$ ام؛  
 $x_k$ : متغیر تصمیم که نشان دهنده تعداد خطوط تولید لازم برای تولید محصول  $k$ ام است؛  
 $Lx_k$  و  $Ux_k$ : کران پایین و کران بالای متغیر تصمیم  $(Lx_k \leq x_k \leq Ux_k)$ ؛  
 $LQ_k$ : کمترین مقدار محصولی که زیرسیستم  $k$ ام باید تولید کند  $(LQ_k = q_k \cdot L_{x_k})$ ؛  
 $UQ_k$ : بیشترین تعداد محصولی که زیرسیستم  $k$ ام قابلیت تولید آن را دارد  $(UQ_k = q_k \cdot Ux_k)$ ؛

در یک سیستم موازی - سری با  $k$  زیرسیستم، پایابی به شکل رابطه‌ی زیر است:  
 $R_s(x) = \prod_{j=1}^n [R_{SL}(X), R_{SR}(X)]$  :  
 $R_{SL}(X) = \sum_{k=1}^{\bar{k}} \left[ 1 - \prod_{i=1}^{x_k} \left( 1 - \prod_{j=1}^n r_{ijkL} \right) \right],$   
 $R_{SR}(X) = \sum_{k=1}^{\bar{k}} \left[ 1 - \prod_{i=1}^{x_k} \left( 1 - \prod_{j=1}^n r_{ijR} \right) \right] \quad (1)$

این رابطه بر اساس پایابی هر ماشین تعریف می‌شود. با توجه به نمایی بودن عمر مفید هر ماشین، پایابی هر ماشین از نوع زام در زیرسیستم  $k$ ام با توجه به عدم قطعیت پارامتر توزیع مقداری فاصله‌ای و به صورت رابطه‌ی ۲ است:

$$r_{ijk} = [e^{-\lambda_{jkrT}}, e^{-\lambda_{jklT}}] \quad \forall i = 1, 2, \dots, x_k \quad (2)$$

بنابراین، تابع هدف نخست به صورت رابطه‌ی ۳ خواهد بود:

$$(8) \quad Maximize \quad R_s(X) = \sum_{k=1}^{\bar{k}} \left[ 1 - \prod_{i=1}^{x_k} \left( 1 - \prod_{j=1}^n e^{-\lambda_{ijkRT}} \right), 1 - \prod_{i=1}^{x_k} \left( 1 - \prod_{j=1}^n e^{-\lambda_{ijkLT}} \right) \right] \quad (3)$$

از آنجاکه مقدار تولید  $(Q_k)$  می‌تواند کمتر یا بیشتر از تقاضا  $(D_k)$  برای محصول  $k$ ام باشد، هزینه‌های کمبود محصول و نگهداری محصول بر سیستم تحمیل خواهد شد. می‌دانیم که  $q_k x_k = LQ_k \leq Q_k \leq UQ_k$  و در نتیجه با الهام از مرجع [۲۳] هزینه‌ی کل تحمیل شده به سیستم در صورت مواجه شدن با یکی از دو حالت کمبود یا مازاد محصول برابرخواهد بود با:

رابطه‌ی ۱۴ بازه‌ی زمانی مازاد انتهای دوره‌ی برنامه ریزی را نشان می‌دهد (توضیحات بیشتر را در پیوست ۲ ببینید). از طرف دیگر طبق خواص توزیع نمایی و پواسون، امید ریاضی فاصله‌ی زمانی تا رخداد اولین خرابی برابر با  $\frac{1}{\lambda}$  است. یعنی خرابی‌های متوالی در طول افق زمانی  $T$  با فواصل  $\frac{1}{\lambda}$  به صورت یکنواخت توزیع می‌شوند.

بنابراین طول زیر بازه های زمانی سلامت سیستم  $\frac{1}{\lambda}$  است (به جز بازه زمانی مازاد انتهای دوره یا همان  $T$  که طولی کمتر از  $\frac{1}{\lambda}$  دارد). در نتیجه طبق رابطه  $i$  تعداد چرخه های کامل تولید انجام شده برای محصول  $k$  (ام) که به معنای تعداد تولید محصول  $k$  (ام) است) در هر یک از این زیر بازه های زمانی، برابر است با:

$$\bar{m} = \left\lceil \frac{\frac{\lambda}{\lambda} - \delta + \Omega}{\Omega} \right\rceil \quad \forall k = 1, 2, \dots, \bar{k} \quad (15)$$

و تعداد چرخه‌های کامل تولید انجام شده برای محصول  $k$ ام در بازه‌ی مازاد انتهای دوره برابر است با:

$$\bar{m} \left[ \frac{\Gamma - \delta + \Omega}{\Omega} \right] \quad (16)$$

بنابراین تعداد تولید محصول  $k$ ام نهایی در طول افق زمانی  $T$  برابر است با:

$$q_k = \vartheta \cdot \bar{m} + \bar{m} \quad \forall k = 1, 2, \dots, \bar{k} \quad (14)$$

در رابطه‌ی ۱۷ از تعداد محصولات نهايی سالمنی که ممکن است در چرخه‌های ناقص تولید شود، صرف نظر شده است؛ يعني،  $q_k$  تعداد محصول نهايی در حالت بدینيانه است. به دليل فاصله‌ی بودن  $\lambda$  در روابط ۱۳ و ۱۴،  $q_k$  نيز عددی فاصله‌ی است.

#### ۴. بهینه‌سازی حذف‌های فایل

مدل برنامه‌ریزی پیشنهادی در این مقاله یک مدل برنامه‌ریزی غیرخطی دوهدفه با محدودیت‌های خطی است. برای حل مسائل برنامه‌ریزی چنددهدفه روش‌های گوناگونی وجود دارد که هر کدام از این روش‌ها مزایا و معایب خاص خود را دارند. ضمن این‌که جواب به دست آمده از هر روش لزوماً برابر با دیگر روش‌ها نیست؛ زیرا مفروضات هر روش و همچنین میراث مشارکت تصمیم‌گیرنده در فرایند حل متفاوت است.<sup>[۲۴]</sup> در این تحقیق از روش معیار جامع برای حل مدل نهایی استفاده شده است.

۱۰۴ جامع معیار روش

در این روش برخلاف روش‌های دیگر حل مسأله چنددهفه نیازی به اولویت بندی اهداف، وزن دهی، یا تبدیل اهداف به محدودیت نیست. روش معیار جامع<sup>۱۵</sup>، بسته به مورد، مجموع توان اول، دوم،... انحرافات نسبی اهداف از مقدار بهینه‌شان را کمینه می‌کند. در این روش، تابع هدف که همواره کمیته‌سازی آن مورد توجه است، به صورت زیر تعریف می‌شود:

$$\min Z = \sum_{i=1}^k \left( \frac{f_i^* - f_i}{f_i^*} \right)^p \quad (\forall)$$

که در آن  $\pi^*$  مقدار بهینه‌ی تابع هدف  $\lambda$ ام (بدون در نظر گرفتن اهداف دیگر) است. پیشنهادهای مختلفی برای مقدار  $p$  وجود دارد. ۱)  $p$  را مناسب می‌دانند (یعنی مجموع نسبی انحرافات کمینه شود) و برخی نیز ۲)  $p$  را مناسب تر می‌دانند (یعنی  $\lambda$  را بزرگتر از لذت انتظاری کنند). [۲۲]

محدودیت سوم: یک محدودیت احتمالی است که نشان می‌دهد احتمال بزرگ‌تر یا مساوی بودن با عرضه نسبت به تقاضا باید بیشتر از ۱ منهای سطح اطمینان ( $\alpha$ ) باشد. این محدودیت احتمالی را می‌توان بر اساس تعریف زیر به یک محدودیت قطعی، تدبیاً، کرد:

وقتی  $D_k$  دارای توزیع نرمال است. در این حالت،  $D_k \sim N(\mu_{d_k}, \sigma_{d_k}^2)$  که در آن  $\mu_{d_k}$  معرف میانگین از  $(D_k)$  و  $\sigma_{D_k}^2$  بیانگر واریانس از  $D_k = Var(D_k)$  است. بنابراین،  $prob[D_k \leq q_k x_k] \geq 1 - \alpha$  می‌تواند به صورت  $q_k x_k \geq \mu_{D_k} + \gamma \cdot \sigma_{D_k}$  نوشته شود که  $\gamma$  مقدار نرمال استاندارد است.

که از رابطه‌ی  $\phi(\gamma) = \alpha$  به دست می‌آید در اینجا  $\phi(z) = \frac{1}{\sqrt{\pi}} \int_z^{+\infty} \exp\left(-\frac{t^2}{4}\right) dt$  است. بنابراین به جای محدودیت فوق

است، ( $D_k \sim U(l_k, u_k)$  پس محدودیت احتمالی  $\text{prob}[D_k \leq q_k x_k] \geq \tau_k$  نوشته شود که در آن  $1 - \alpha$  می‌تواند به صورت محدودیت قطعی  $q_k x_k \leq u_k \beta + l_k \alpha$  باشد. با  $\int_{l_k}^{r_k} \frac{1}{u_k - l_k} dd_k = 1 - \alpha$  است.

در این حالت به جای محدودیت فوق  $q_k x_k \geq u_k \beta + l_k \alpha$  جایگزین می‌شود.  
یک سیستم با یک خط تولید سری را که «ای» ساخت محصول  $k$  طراحی شده

و در طی زمان  $\sum_{j,k} \delta = \delta$  (مجموع زمان پردازش توسط  $n$  ماشین در خط) وقفه و در نظر بگیرید. در سیستم تولید سری اولین محصول نهایی بدون هیچ گونه است، در نظر بگیرید.

تولید می شود. از آنجا که نوع ماشین های سری شده مختلف است، مدت زمان کار هر ماشین بر روی محصول نیمه ساخته متفاوت است. در این وضعیت، ماشینی که دارای مدت زمان پردازش بیشتری است، گلوگاه خط تولید محسوب می شود. اگر باقی از این مدت زمان کار نماید، می تواند باقی از این مدت را برای تولید دیگر محصول

برای تولید محصولات نهایی دوم به محض حاصلی سعد ماسین اول و ورود مخصوص نیمه ساخته به ماشین دوم اقدام شود، در پشت ماشین گوگاگاهی صفحه از محصولات نیمه ساخته در انتظار پردازش ایجاد خواهد شد. بنابراین، برای اجتناب از رخ دادن چنین وضعیتی، تولید محصولات متوالی باید با یک وقفه‌ی زمانی نسبت به محصول پیشین شروع شود. مدت زمان این وقفه برابر است با مدت زمان پردازش ماشین گوگاگاهی یعنی  $\max_{j,k}(t_{jk}) = \Omega$ . بدینهی است که در صورت برابر بودن مدت زمان پردازش همه‌ی ماشین‌ها مدت زمان این وقفه برابر مدت زمان پردازش‌ها یا  $t_{jk}$  است. اگر یک بازه‌ی زمانی بدون خرابی را یک بازه‌ی زمانی پیوسته بنامیم و آن را با  $I$  نشان دهیم، با توجه به زمان پردازش ماشین گوگاگاهی ( $\Omega$ ) و مدت زمان یک چرخه‌ی تولید ( $\delta$ )، تعداد چرخه‌های کامل تولید رخ داده برای محصول  $k$  ام که به معنای تولید محصول نهایی  $k$  است، طبق پیوست ۱ از رابطه‌ی زیر به دست می‌آید:

$$m = \left\lceil \frac{\gamma - \delta + \Omega}{\Omega} \right\rceil \quad \forall k = 1, 2, \dots, \bar{k} \quad (12)$$

اما آنچه در واقعیت وجود دارد، این است که معمولاً در یک افق زمانی  $T$  سیستم دچار خرابی می‌شود؛ از این رو،  $T$  یک بازه‌ی پیوسته نخواهد بود. بنابراین باید تعداد بازه‌های زمانی پیوسته در افق برنامه‌بریزی  $T$  را به دست آورد. این مهم از طریق رابطه‌های زیر (که در سمت ۲ نշده) محل برآورده شده است) حاصل شد:

$$\vartheta = \left[ \frac{T + M_{RT}}{\lambda} \right] \quad (13)$$

$$\Gamma = T - \vartheta\left(\frac{1}{\lambda} + M_{RT}\right) \quad (14)$$

اپنے، ۱۳ تعداد بازه‌های، از سلامت سیستم، که طول آنها دققاً  $\frac{1}{2}$  است، و

جدول ۱. یافته‌های نهایی حاصل از حل مثال‌ها.

مثال	نوع خط تولید	تعداد خطوط ( $X_k$ )	پایابی خط (فاصله‌یی)		حد راست	حد چپ	پایابی خط	هزینه‌ی کل سیستم (نگهداری + کمبود)	زمان اجرای برنامه (ثانیه)	
			حد راست	حد چپ						
۰,۲۸۴	۱	۱	۰,۸۳۹۵۹۴۷۹۳	۰,۸۲۶۰۲۲۳	۰,۸۳۲۸۰۸۵۵	۰,۸۶۹۸۶۵۰۲۷	۰,۷۱۷۰۲۹۴۰۶	۰,۶۸۰۲۸۱۱۴	۱۱۸۶۲۸۴۶۲	۰,۲۸۴
			۰,۷۹۹۵۹۶۷۵	۰,۷۹۹۵۹۶۷۵	۰,۷۱۷۰۲۹۴۰۶	۰,۶۸۰۲۸۱۱۴	۰,۶۸۰۲۸۱۱۴	۰,۶۹۸۶۵۰۲۷	۰,۷۹۹۵۹۶۷۵	۰,۷۹۹۵۹۶۷۵
۰,۴۰۲۳۳۵۵۵	۲	۲	۰,۳۲۹۸۶۳۸۴	۰,۳۲۹۸۶۳۸۴	۰,۷۱۷۰۲۹۴۰۶	۰,۶۸۰۲۸۱۱۴	۰,۶۸۰۲۸۱۱۴	۰,۶۹۸۶۵۰۲۷	۰,۴۰۲۳۳۵۵۵	۰,۴۰۲۳۳۵۵۵
			۰,۴۳۴۱۲۰۳۶	۰,۴۳۴۱۲۰۳۶	۰,۶۱۸۶۰۴۴۳	۰,۷۰۹۷۴۹۹۰۴	۰,۷۰۹۷۴۹۹۰۴	۰,۷۱۷۰۲۹۴۰۶	۰,۴۰۲۳۳۵۵۵	۰,۴۰۲۳۳۵۵۵
۰,۷۲۰۶۷۳۹۸	۳	۳	۰,۶۵۷۹۶۱۹۱	۰,۶۵۷۹۶۱۹۱	۰,۸۰۳۳۸۶۰۴۹	۰,۷۲۰۶۷۳۹۸	۰,۸۰۳۳۸۶۰۴۹	۰,۷۲۰۶۷۳۹۸	۰,۷۱۷۰۲۹۴۰۶	۰,۷۱۷۰۲۹۴۰۶
			۰,۶۵۷۹۶۱۹۱	۰,۶۵۷۹۶۱۹۱	۰,۷۰۴۸۴۲۲۹	۰,۷۰۴۸۴۲۲۹	۰,۷۰۴۸۴۲۲۹	۰,۷۰۴۸۴۲۲۹	۰,۷۱۷۰۲۹۴۰۶	۰,۷۱۷۰۲۹۴۰۶
۰,۷۳۶۱۳۹۹۵	۴	۴	۰,۶۵۷۵۴۵۲۷	۰,۶۵۷۵۴۵۲۷	۰,۸۱۴۷۳۴۶۴۱	۰,۷۳۶۱۳۹۹۵	۰,۷۳۶۱۳۹۹۵	۰,۷۳۶۱۳۹۹۵	۰,۷۱۷۰۲۹۴۰۶	۰,۷۱۷۰۲۹۴۰۶
			۰,۶۵۷۵۴۵۲۷	۰,۶۵۷۵۴۵۲۷	۰,۵۶۴۷۷۹۷۵۵	۰,۴۳۴۱۲۰۳۶	۰,۴۳۴۱۲۰۳۶	۰,۴۳۴۱۲۰۳۶	۰,۴۳۴۱۲۰۳۶	۰,۴۳۴۱۲۰۳۶
۰,۶۹۷۵۸۵۷۱	۵	۵	۰,۶۰۸۲۱۳۴۸	۰,۶۰۸۲۱۳۴۸	۰,۷۸۶۹۵۷۹۳۱	۰,۶۹۷۵۸۵۷۱	۰,۶۹۷۵۸۵۷۱	۰,۶۹۷۵۸۵۷۱	۰,۶۹۷۵۸۵۷۱	۰,۶۹۷۵۸۵۷۱
			۰,۶۰۸۲۱۳۴۸	۰,۶۰۸۲۱۳۴۸	۰,۶۵۷۹۶۱۹۱	۰,۶۵۷۹۶۱۹۱	۰,۶۵۷۹۶۱۹۱	۰,۶۵۷۹۶۱۹۱	۰,۶۵۷۹۶۱۹۱	۰,۶۵۷۹۶۱۹۱
۰,۷۲۰۶۷۳۹۸	۶	۶	۰,۶۵۷۹۶۱۹۱	۰,۶۵۷۹۶۱۹۱	۰,۸۰۳۳۸۶۰۴۹	۰,۷۲۰۶۷۳۹۸	۰,۷۲۰۶۷۳۹۸	۰,۷۲۰۶۷۳۹۸	۰,۷۱۷۰۲۹۴۰۶	۰,۷۱۷۰۲۹۴۰۶
			۰,۶۵۷۹۶۱۹۱	۰,۶۵۷۹۶۱۹۱	۰,۵۶۶۷۸۵۵۴	۰,۷۰۴۸۴۲۲۹	۰,۷۰۴۸۴۲۲۹	۰,۷۰۴۸۴۲۲۹	۰,۷۰۴۸۴۲۲۹	۰,۷۰۴۸۴۲۲۹
۰,۷۸۰۰۱۴۰۶	۷	۷	۰,۵۹۳۶۳۸۷۴	۰,۵۹۳۶۳۸۷۴	۰,۷۱۶۹۱۷۹۷۴	۰,۶۸۰۰۱۴۰۶	۰,۶۸۰۰۱۴۰۶	۰,۶۸۰۰۱۴۰۶	۰,۶۸۰۰۱۴۰۶	۰,۶۸۰۰۱۴۰۶
			۰,۵۹۳۶۳۸۷۴	۰,۵۹۳۶۳۸۷۴	۰,۵۹۲۱۵۱۳۸	۰,۷۰۴۸۴۲۲۹	۰,۷۰۴۸۴۲۲۹	۰,۷۰۴۸۴۲۲۹	۰,۷۰۴۸۴۲۲۹	۰,۷۰۴۸۴۲۲۹
۰,۶۸۲۳۷۵۹۸	۸	۸	۰,۸۹۳۶۳۸۷۴	۰,۸۹۳۶۳۸۷۴	۰,۷۷۲۶۰۰۵۹۳	۰,۶۸۲۳۷۵۹۸	۰,۶۸۲۳۷۵۹۸	۰,۶۸۲۳۷۵۹۸	۰,۶۸۰۰۱۴۰۶	۰,۶۸۰۰۱۴۰۶
			۰,۸۹۳۶۳۸۷۴	۰,۸۹۳۶۳۸۷۴	۰,۵۹۲۱۵۱۳۸	۰,۷۰۴۸۴۲۲۹	۰,۷۰۴۸۴۲۲۹	۰,۷۰۴۸۴۲۲۹	۰,۷۰۴۸۴۲۲۹	۰,۷۰۴۸۴۲۲۹
۰,۶۹۵۱۳۶۲۶	۹	۹	۰,۶۷۴۶۴۰۰۷	۰,۶۷۴۶۴۰۰۷	۰,۷۱۵۶۳۲۴۳۸	۰,۶۹۵۱۳۶۲۶	۰,۶۹۵۱۳۶۲۶	۰,۶۹۵۱۳۶۲۶	۰,۶۸۰۰۱۴۰۶	۰,۶۸۰۰۱۴۰۶
			۰,۶۷۴۶۴۰۰۷	۰,۶۷۴۶۴۰۰۷	۰,۸۲۱۵۹۸۳۷	۰,۶۹۵۱۳۶۲۶	۰,۶۹۵۱۳۶۲۶	۰,۶۹۵۱۳۶۲۶	۰,۶۸۰۰۱۴۰۶	۰,۶۸۰۰۱۴۰۶
۰,۸۴۶۷۸۸۹۱	۱۰	۱۰	۰,۸۲۱۵۹۸۳۷	۰,۸۲۱۵۹۸۳۷	۰,۸۷۱۹۷۹۴۶۲	۰,۸۴۶۷۸۸۹۱	۰,۸۴۶۷۸۸۹۱	۰,۸۴۶۷۸۸۹۱	۰,۶۸۰۰۱۴۰۶	۰,۶۸۰۰۱۴۰۶
			۰,۸۲۱۵۹۸۳۷	۰,۸۲۱۵۹۸۳۷	۰,۷۰۴۸۴۲۲۹	۰,۸۴۶۷۸۸۹۱	۰,۸۴۶۷۸۸۹۱	۰,۸۴۶۷۸۸۹۱	۰,۶۸۰۰۱۴۰۶	۰,۶۸۰۰۱۴۰۶

## ۵. مثال عددی

برای هر خط تولید به کمک رابطه‌ی  $17$  محاسبه می‌شود. در ادامه با توجه به داده‌های مسئله مقدار حد پایین متغیرهای تصمیم به کمک محدودیت مربوط به رابطه‌ی  $10$  محاسبه شده است. با قرار دادن حد پایین یک متغیر به جای مقدار آن در محدودیت‌های مربوط به روابط  $8$  و  $9$  و تعیین اشتراک آنها، مقدار حد بالای متغیر دیگری به دست می‌آید. از آنجاکه جنس متغیرهای تصمیم عدد صحیح است، در هنگام محاسبه حدود بالا و پایین چنانچه با اعداد اعشاری موافق شدیم، برای حد پایین به اولین عدد صحیح بزرگ‌تر (به بالا) و برای حد بالا به بزرگ‌ترین عدد صحیح کوچک‌تر (به پایین) گرد می‌کنیم. این مسئله از جنس بهینه‌سازی غیرخطی چنددهفه عدد صحیح با پارامترهای فاصله‌یی است. برای حل این مسئله از روش معیار جامع که در بخش قبل بدان اشاره شد، استفاده شده است. بر طبق این روش مقدار بهینه‌ی هر یک از توابع هدف به طور جداگانه محاسبه شد و با قرار دادن در رابطه‌ی  $18$  جواب نهایی این مسئله دوهدفه با توجه به محدودیت‌های چهارگانه‌ی آن محاسبه شد که در جدول  $1$  نمایش داده شده است.

به منظور تعیین اعتبار مدل پیشنهادی، سه مثال عددی در اندازه‌های مختلف طراحی و توسعه نرم‌افزار MATLAB و با استفاده از الگوریتم شمارش صریح حل شده است. اطلاعات مربوط به این مثال‌ها در جدول‌های  $4, 3$  و  $5$  و پیوست  $3$  نشان داده شده است. مثال‌های  $1, 2$  و  $3$  به ترتیب دارای  $2, 5$  و  $10$  نوع خط تولید هستند که کمینه  $2$  و بیشینه  $4$  ماشین برای خطوط مختلف تعیین شده است. زمان پردازش برای ماشین‌ها به دقیقه در نظر گرفته شده است و نزخ خرابی به صورت بازه‌یی خواهد بود. برای هر خط تولید در هر یک از مثال‌ها فضا و بودجه‌ی مورد نیاز برای راهاندازی هر یک در نظر گرفته شده است. کل بودجه و فضا نیز از دیگر پارامترهای مفروض در این مسائل هستند. ضمن اینکه توزیع تقاضا برای محصولات مختلف توزیع یکنواخت یا نرمال در نظر گرفته شده است که در جدول‌های  $4$  و  $5$  قابل مشاهده است. هزینه‌ی نگهداری و کمبود کالاهای سطح اطمینان، دوره‌ی برنامه‌ریزی و زمان تعمیر خط پس از وقوع خرابی در سه مسئله یکسان در نظر گرفته شده است. در دوره‌ی برنامه‌ریزی مورد نظر به طور مستمر به دنبال تولید محصولات هستیم. بر اساس این داده‌ها می‌خواهیم تعداد خطوط بهینه را از هر نوع با هدف کمینه کردن مجموع هزینه‌های کمبود و نگهداری و بیشینه کردن پایابی هر زیرسیستم به دست آوریم.

برای حل مسائل، ابتدا باید حد بالا و پایین را برای متغیرهای تصمیم محاسبه کرد. بدین منظور ابتدا باید مقدار  $q_k$  را برای خط تولید  $k$ ام محاسبه کرد. این مقدار

## ۶. نتیجه‌گیری

در این مقاله نویسندهان یک مدل برنامه‌ریزی غیرخطی چنددهفه‌ی عدد صحیح با پارامترهای فاصله‌یی برای حل مسئله‌ی طراحی خط تولید با در نظر گرفتن نظریه‌ی پایابی ارائه کرده‌اند. این مدل به مدیران کمک می‌کند تا درباره‌ی راهاندازی خطوط

شمارش صریح استفاده شده است که در صورت افزایش ابعاد مسئله ناکارآمد خواهد بود و به عنوان پیشنهادی برای تحقیقات آتی می‌توان از روش‌های فراابتکاری توسعه یافته مانند الگوریتم ژنتیک، بهینه‌سازی ازدحام ذرات و... استفاده کرد. همچنین این مدل می‌تواند با در نظر گرفتن ضایعات خطوط تولید نیز توسعه داده شود.

تولید محصولات مختلف با در نظر گرفتن محدودیت‌های بودجه، فضای و تقاضای بازار و با هدف بیشینه کردن پایایی و کمینه کردن مجموع هزینه‌ی کل نگهداری و کمبود تصمیم‌گیری کنند. مدل از جنس مسائل NP-hard است که حل آن نیازمند روش‌های فراابتکاری است. در این مقاله به دلیل کوچک بودن ابعاد مسئله از روش

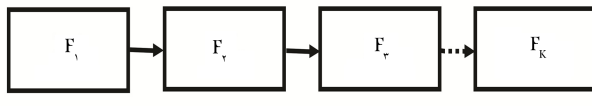
## پابندی

1. exact optimization methods
2. Wei-Chang Yeh
3. particle swarm optimization
4. deterministic
5. Bennett & Jenny
6. Chung, Wu & Chang
7. Kumral
8. Vasudevan et al
9. bottleneck
10. Bhunia, et al
11. Sahoo, et al
12. symmetric
13. reflexive
14. transitive
15. global criterion method

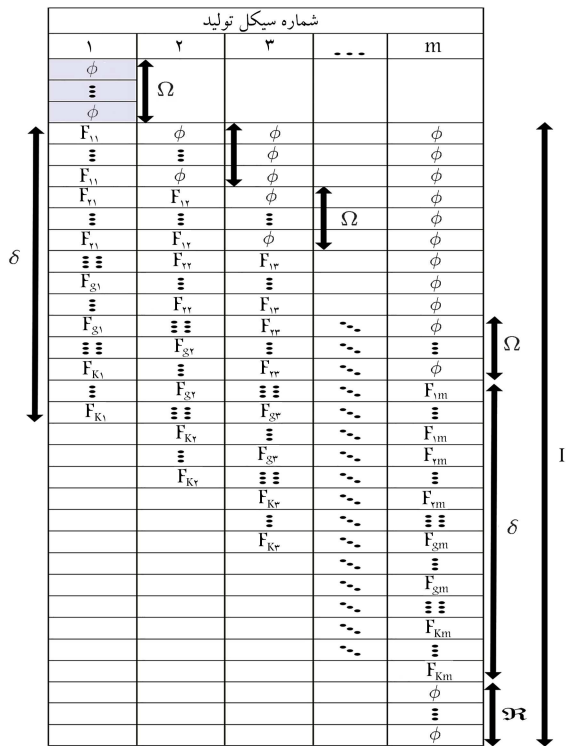
## منابع (References)

1. Stevenson, W. J. *Production/operations management*, Tom Casson, USA (1996).
2. Lin, Y.-K. and et al. "Reliability evaluation for a waste-reduction parallel-line manufacturing system", *Journal of Cleaner Production*, **35**, pp. 93-101 (2012).
3. Liberopoulos, G. and Tsarouhas, P. "Reliability analysis of an automated pizza production line", *Journal of Food Engineering*, **69**, pp. 79-96 (2005).
4. Bennett, D. and Jenney, B. "Reliability: its implications systems design in production ", *OMEGA*, **8**(4), pp. 433-440 (1980).
5. Thoft-Christensen, P. and Murotsu, Y. *Application of Structural Systems Reliability Theory* Springer, Berlin, Heidelberg (1986).
6. Garg, H. and et al. "Intuitionistic fuzzy optimization technique for solving multi-objective reliability optimization problems in interval environment", *Expert Systems with Applications*, **41**, pp. 3157-3167 (2014).
7. Yeh, W.-C. "A two-stage discrete particle swarm optimization for the problem of multiple multi-level redundancy allocation in series systems", *Expert Systems with Applications*, **36**, pp. 9192-9200 (2009).
8. Chung, S.-H. and et al. "An efficient tabu search algorithm to the cell formation problem with alternative routings and machine reliability considerations", *Computers & Industrial Engineering*, **60**, pp. 7-15 (2011).
9. Das, K. and et al. "Reliability consideration in the design and analysis of cellular manufacturing systems", *Int. J. Production Economics*, **105**, pp. 243-262 (2007).
10. Kumral, M. "Reliability-based optimisation of a mine production system using genetic algorithms", *Journal of Loss Prevention in the Process Industries*, **18**, pp. 186-189 (2005).
11. Vasudevan, K. and et al. "Application of simulation to design and operation of steel mill devoted to manufacture of line pipes", *2010 Second International Conference on Advances in System Simulation*, pp. 1-6, IEEE (2010).
12. Diallo, M. and et al. "Manufacturing cell design with flexible routing capability in presence of unreliable machines", *International Journal of Production Economics*, **74**(1-3), pp. 175-182 (2001).
13. JabalAmeli, M. S. and Arkat, J. "Cell formationwith-alternative process routings and machine reliability consideration", *International Journal of Advanced Manufacturing Technology*, **35**, pp. 761-768 (2008).
14. JabalAmeli, M. S. and et al. "Modelling the effects of machine breakdowns in the generalized cell formation problem", *International Journal of Advanced Manufacturing Technology*, **39**, pp. 838-850 (2008).
15. Savsar, M. "Reliability analysis of a flexible manufacturing cell", *Reliability Engineering & System Safety*, **67**, pp. 147-152 (2000).
16. Zakarian, A. and Kusiak, A. "Modeling manufacturing dependability", *IEEE Transactions Robotics and Automation*, **13**(2), pp. 161-168 (1997).
17. Logendran, R. Talkington, D. "Analysis of cellular and functional manufacturing system in the presence of machine breakdown", *International Journal of Production Economics*, **53**(3), pp. 239-256 (1997).
18. Bhunia, A. K. and et al. "Reliability stochastic optimization for a series system with interval component reliability via genetic algorithm", *Applied Mathematics and Computation*, **216**, pp. 929-939 (2010).

19. Gupta, R. K. and et al. "A GA based penalty function technique for solving constrained redundancy allocation problem of series system with interval valued reliabilities of components", *Journal of Computational and Applied Mathematics*, **232**, pp. 275-284 (2009).
20. Colledani, M. and Yemane, A. "Impact of machine reliability data uncertainty on the design and operation of manufacturing systems", *Procedia CIRP*, **7**, pp. 557-562 (2013).
21. Sahoo, L. and et al. "Genetic algorithm based multi-objective reliability optimization in interval environment", *Computers & Industrial Engineering*, **62**, pp. 152-160 (2012).
22. SeyedEsfahani, M. and et al. "A simulated annealing algorithm for fuzzy reliability optimization model in series-parallel and standby systems", *International Journal of Industrial Engineering & production Management*, **24**(4), pp. 413-422 (2014).
23. Sadjadi, S. J. and et al. "A new nonlinear stochastic staff scheduling model", *Scientia Iranica Transactions E: Industrial Engineering*, **18**(3), pp. 699-710 (2011).
24. Momeni, M., *New topics of Operations Research, 2th edition*, Tehran University Press, Tehran (2008).



شکل ۲. سیستم سری با  $K$  ماشین.



شکل ۳. جریان تولید در یک خط سری.

دستیابی به یک الگوی مشترک در همه‌ی چرخه‌ها و کشف رابطه‌ی ریاضی این الگو، به صورت فرضی این تأخیر را به ابتدای چرخه اول تولید هم می‌افزاییم (در ستون اول شکل ۳ با زمینه‌ی خاکستری مشخص است). پس از هر بازه‌ی زمانی به طول  $\Omega + \delta$  یک محصول نهایی تولید می‌شود (یک چرخه تمام می‌شود). تابعی، با به دست آوردن تعداد این تناوب‌ها در بازه‌ی زمانی  $I$  تعداد محصول نهایی تولیدی در این بازه حاصل می‌شود.

توجه به این نکته ضروری است که طبق شکل، بازه‌های به طول فوق  $\Omega + \delta$  در چرخه‌های متوالی با هم هم‌بُوشانی دارند. به صورت شهودی واضح است که از

## پیوست

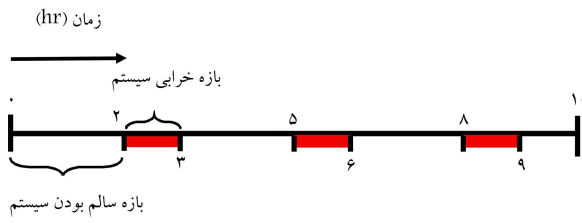
### پیوست ۱: نحوه‌ی محاسبه‌ی مقدار محصول نهایی تولید شده در هر خط

تولید در زیرسیستم  $k$ ام در بازه‌ی زمانی  $I$

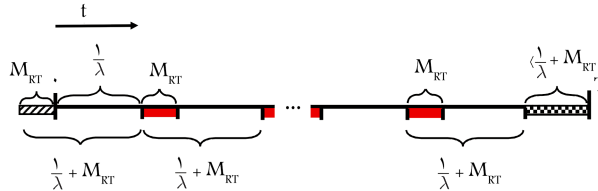
شکل ۲ یک خط تولید با  $K$  ماشین و شکل ۳ مدت زمان پردازش محصول نیمه‌ساخته در هر ماشین را نشان می‌دهد. وجود  $F_{uv}$  در هر یک از سلول‌های شکل ۳ که  $u = 1, \dots, m$  و  $v = 1, \dots, K$  است به ترتیب شماره‌ی ماشین و شماره‌ی چرخه‌ی تولید است، نشان دهنده‌ی این است که محصول نیمه‌ساخته‌ی این خط تولید در چرخه‌ی تولید  $i$ ام در هین پردازش در ماشین  $F_u$  است. در این شکل هر سلول نماینده‌ی یک واحد زمانی است. این واحد زمانی برابر با بزرگترین واحد زمانی است که بتواند زمان تمام ماشین‌ها را به اعدادی طبیعی برگرداند. مثلاً اگر در یک خط تولید سری زمان‌های تولید سه ماشین  $1, 2, 3$  دقتیقه باشد، به دلیل اعشاری بودن زمان یکی از ماشین‌ها واحد زمان همه‌ی ماشین‌ها به واحدی تغییر می‌یابد که اعشار را حذف کند؛ در اینجا زمان ماشین‌ها به ترتیب به  $1, 180/2 = 90$  و  $180/3 = 60$  ثانیه تبدیل می‌شود. با توجه به آن‌چه گذشت، تعداد تکرار هر  $F_{uv}$  در هر ستون (به عبارت دیگر در هر چرخه) نشان دهنده‌ی زمان پردازش ماشین  $F_u$  روی محصول مورد نظر در آن چرخه‌ی تولید است. مثلاً تکرار  $4$  مرتبه‌ی  $F_{22}$  در ستون دوم نشان دهنده‌ی این است که زمان پردازش ماشین  $F_2$  روی محصول مورد نظر در چرخه‌ی دوم تولید  $4$  واحد زمانی است.

فرض می‌کنیم که ماشین  $F_g$  که  $g \in [1, k]$  به دلیل دارا بودن بیشینه‌ی زمان پردازش، گلوگاه این خط تولید است. برای اجتناب از تشکیل صفحه در پشت ماشین گلوگاهی، هر چرخه‌ی تولید جدید با تأخیری معادل زمان پردازش ماشین گلوگاهی آغاز می‌شود. این تأخیرات در آغاز هر چرخه (هرستون) با تکرار نماد  $\phi$  نشان داده شده است. همان‌طور که در شکل ۳ مشخص است در بازه‌ی زمانی پیوسته‌ی  $I$  تعداد  $m$  چرخه‌ی کامل تولید رخ می‌دهد که به ازای هر چرخه‌ی کامل یک محصول تمام شده از خط خارج می‌شود. طبق شکل اختلاف لحظه‌ی اتمام آخرین چرخه (چرخه‌ی  $m$ ام) و لحظه‌ی پایان بازه‌ی زمانی  $I$  برابر  $\Omega$  است. لزوماً باید  $\{0, 1, 2, \dots, \Omega - 1\} \subseteq \mathcal{R}$  باشد، زیرا اگر  $\Omega \geq \mathcal{R}$ ، به دلیل این‌که اختلاف زمان لحظه‌ی آغاز دو چرخه‌ی متوالی  $\Omega$  است چرخه‌های بیشتری تشکیل خواهد شد و دیگر چرخه‌ی  $m$ ام آخرین چرخه‌ی تولید نخواهد بود (برهان خلف).

با توجه به شکل ۳ هر چرخه‌ی تولید جدید با تأخیری معادل زمان پردازش ماشین گلوگاهی آغاز می‌شود. این تأخیرات که به صورت تناوبی در شکل با  $\Omega$  نشان داده شده‌اند، به جز چرخه‌ی اول، در آغاز تمام چرخه‌ها تکرار می‌شوند. برای



شکل ۶. حالات سیستم در دوره‌ی زمانی ۱۰ ساعته.



شکل ۷. حالات سیستم در دوره‌ی برنامه‌ریزی  $[O, T]$ .

پس از هر خرابی  $M_{RT}$  باشد، مطلوب است تعداد بازه‌های زمانی سلامت سیستم در دوره‌ی برنامه‌ریزی مذکور.

همان طور که شکل ۶ نشان می‌دهد، از آنجا که فاصله‌ی زمانی بین دو خرابی برابر  $(\frac{1}{\lambda})$  است، به طور متوسط پس از هر  $\frac{1}{\lambda}$  یک خرابی اتفاق می‌افتد. بنابراین دوره‌ی تناوب زمانی رویداد «خرابی - سلامت» برابر با  $M_{RT} + \frac{1}{\lambda}$  خواهد بود. از طرف دیگر در لحظه‌ی  $O$  سیستم سالم است و بازه‌ی زمانی خرابی وجود ندارد. اما برای آن‌که از اولین بازه‌ی سلامت سیستم صرف نظر نشود و بتوان یک تناوب «خرابی - سلامت» دیگر نیز ایجاد کرد، به طور فرضی به ابتدای دوره‌ی برنامه‌ریزی به میزان یک بازه‌ی زمانی خرابی اضافه می‌کنیم (یعنی فرض می‌کنیم سیستم بعد از یک خرابی و تعمیر شروع به کار کرده است). در شکل ۶، این بازه‌ی خرابی فرضی به صورت هاشور زده قبل از لحظه‌ی صفر نشان داده شده است. بازه‌ی زمانی مازاد انتهای دوره‌ی برنامه‌ریزی که به صورت سطونجی نشان داده شده است مقداری کمتر از  $\frac{1}{\lambda} + M_{RT}$  دارد (که آن را با نماد  $\Gamma$  نشان می‌دهیم). پس نمی‌تواند تشکیل تناوب «خرابی - سلامت» بیشتری دهد. اما برای تعیین مقدار تولید در افق برنامه‌ریزی نمی‌توان از آن صرف نظر کرد. از رابطه‌ی زیر تعداد بازه‌های زمانی «خرابی - سلامت» سیستم به دست می‌آید.

$$\vartheta = \left[ \frac{T + M_{RT}}{\frac{1}{\lambda} + M_{RT}} \right]$$

علامت  $\Gamma$  جزء صحیح است و کارکرد آن حذف تناوب ناقص (بازه‌ی زمانی مازاد انتهای دوره‌ی برنامه‌ریزی) است.

اما برای محاسبه‌ی  $\Gamma$  طبق شکل ۷ داریم:

$$\Gamma = T - \vartheta \left( \frac{1}{\lambda} + M_{RT} \right)$$

برای مثال دوره‌ی برنامه‌ریزی  $[10, 0]$  را در نظر بگیرید. فرض کنید نخ شکست یک خط تولید برابر  $5/\lambda$  و امید ریاضی زمان تعمیر پس از هر خرابی ۱ ساعت باشد، طبق شکل ۷ به طور متوسط پس از هر ۲ ساعت یک خرابی اتفاق می‌افتد.

در این صورت  $\vartheta = 7$  و  $\Gamma = 10 - 7 = 3$  درین دوره‌ی برنامه‌ریزی برابر است با:

$$\vartheta = \left[ \frac{10 + 1}{2 + 1} \right] = 3$$

$$\Gamma = 10 - 3(2 + 1) = 1$$



شکل ۴. سیستم سری با ۴ ماشین.

شماره سیکل زمان (min) تولید	۱	۲	۳	۴	۵
۱	A <sub>۱</sub>				
۲	A <sub>۱</sub>				
۳	B <sub>۱</sub>				
۴	C <sub>۱</sub>	A <sub>۲</sub>			
۵	C <sub>۱</sub>	A <sub>۲</sub>			
۶	C <sub>۱</sub>	B <sub>۲</sub>			
۷	D <sub>۱</sub>	C <sub>۲</sub>	A <sub>۳</sub>		
۸	D <sub>۱</sub>	C <sub>۲</sub>	A <sub>۳</sub>		
۹		C <sub>۲</sub>	B <sub>۳</sub>		
۱۰		D <sub>۲</sub>	C <sub>۳</sub>	A <sub>۴</sub>	
۱۱		D <sub>۲</sub>	C <sub>۳</sub>	A <sub>۴</sub>	
۱۲		C <sub>۲</sub>	B <sub>۴</sub>		
۱۳		D <sub>۲</sub>	C <sub>۴</sub>	A <sub>۵</sub>	
۱۴		C <sub>۲</sub>	A <sub>۵</sub>		
۱۵		C <sub>۲</sub>	B <sub>۵</sub>		
۱۶		D <sub>۲</sub>	C <sub>۵</sub>		
۱۷			C <sub>۵</sub>		
۱۸			C <sub>۵</sub>		
۱۹			D <sub>۲</sub>		
۲۰					
۲۱					

شکل ۵. جریان تولید در خط سری.

جدول ۲. زمان پردازش هر کدام از ماشین‌ها.

ماشین‌ها	زمان پردازش روی محصول نیمه‌ساخته
<i>A</i>	۲ دقیقه
<i>B</i>	۱ دقیقه
<i>C</i>	۳ دقیقه
<i>D</i>	۱ دقیقه
جمع (چرخه‌ی تولید)	۷ دقیقه

حاصل تقسیم  $\Omega + \delta - I$  بر  $\Omega$  عددی حقیقی به دست می‌آید که بخش صحیح آن نشان دهنده‌ی تعداد تولید (چرخه) است. بخش اعشار این تقسیم ناشی از  $\mathcal{R}$  است که نشان دهنده‌ی چرخه‌ی ناتمام (عدم تولید محصول تمام شده) است. بنابراین تعداد محصول نهایی تولیدی در بازه‌ی  $I$  از رابطه‌ی زیر به دست می‌آید. علامت  $\square$  نشان دهنده‌ی جزء صحیح است.

$$m = \left[ \frac{I - \delta + \Omega}{\Omega} \right]$$

برای مثال شکل ۴ را به عنوان یک سیستم سری با چهار ماشین در نظر بگیرید. اطلاعات مربوط به زمان پردازش هر ماشین روی محصول نیمه‌ساخته در جدول ۲ نشان داده شده است. با توجه به شکل ۵ و آنچه در پیوست ۱ بیان شد تعداد محصول نهایی تولیدی در طول ۲۱ دقیقه برابر ۵ محصول خواهد بود.

$$m = \left[ \frac{21 - 7 + 3}{3} \right] = 5$$

پیوست ۲: **نحوه‌ی محاسبه‌ی تعداد بازه‌های زمانی در دوره‌ی برنامه‌ریزی که سیستم سالم است.**

دوره‌ی برنامه‌ریزی  $[O, T]$  را در نظر بگیرید. در صورتی که نخ شکست یک خط تولید (مجموع نخ شکست‌های اجزای یک خط) برابر  $\lambda$  و امید ریاضی زمان تعمیر

پیوست ۳: پارامترها (جدول ۳) و داده‌های مربوط به مثال‌های عددی  
(جدول‌های ۴ و ۵)

جدول ۳. پارامترهای مربوط به مثال‌های عددی.

زمان تعمیر پس از وقوع خرابی	سطح خطای هزینه‌ی کمبود واحد محصول	هزینه‌ی نگهداری هر واحد	دوره‌ی برنامه‌ریزی
(T)	توزیع تقاضا	واحد	هزینه‌ی نگهداری
۳۰۰۰ ساعت	۱۰۰۰	۵۰	۱%

جدول ۴. داده‌های مربوط به مثال‌های عددی اول و دوم.

مثال خط تولید ماشین (دقیقه)	زمان پردازش	نوع خرابی	هزینه فضای تصادفی خط	تقاضای تصادفی خط	کل بودجه	
					راه اندازی مورد نیاز نوع توزیع تقاضا ( $t, u/U(\mu, \sigma)$ )	مساحت خط هر خط
$N(150000, 2000)$	نرمال	۶۰	۶۰۰۰۰۰۰	۰,۰۰۰۱۳۱	۰,۰۰۰۱۲۵	۴
۵۰۰۰۰۰۰۰	۱۰۰۰				۰,۰۰۰۱۱	۰,۰۰۰۱۰۹
$U(100000, 130000)$	یکنواخت	۷۵	۵۰۰۰۰۰۰	۰,۰۰۰۲	۰,۰۰۰۱۹	۲
					۰,۰۰۰۳۳	۰,۰۰۰۳۱
$N(145000, 2200)$	نرمال	۶۰	۶۰۰۰۰۰۰	۰,۰۰۰۲۳۱۱۵۰,۰۰۰۱۰۷۱۴۲	۲	۱
					۰,۰۰۰۲۵۱۵۵۰,۰۰۰۲۴۸۶۲۶	۴
					۰,۰۰۰۲۸۶۸۰,۰۰۰۲۶۹۸۲۶	۵
$N(155000, 1950)$	نرمال	۹۵	۸۰۰۰۰۰۰	۰,۰۰۰۲۳۱۱۰,۰۰۰۱۷۸۴۴۵	۳	۲
					۰,۰۰۰۱۵۵۳۸۰,۰۰۰۱۰۹۲۳۴	۲
					۰,۰۰۰۲۹۰۰۴۰,۰۰۰۱۶۳۴۲	۴
۱۵۵۰۰۰۰۰۰	۱۶۹۰					۲
					۰,۰۰۰۲۳۵۷۵۰,۰۰۰۱۸۷۷۴۹	۳
$U(100000, 130000)$	یکنواخت	۷۵	۸۰۰۰۰۰۰	۰,۰۰۰۱۹۷۹۵۰,۰۰۰۱۳۴۲۳۷	۴	۲
					۰,۰۰۰۱۵۵۲۱۰,۰۰۰۱۱۹۴۲۶	۲
$U(95000, 124000)$	یکنواخت	۶۰	۹۰۰۰۰۰۰	۰,۰۰۰۲۵۳۱۰,۰۰۰۱۷۶۳۱۲	۴	۱
					۰,۰۰۰۲۲۹۲۶۰,۰۰۰۱۸۹۱۱۷	۴
$U(110000, 142000)$	یکنواخت	۶۰	۶۰۰۰۰۰۰	۰,۰۰۰۲۵۹۰۴۰,۰۰۰۱۳۷۳۷۵	۳	۱
					۰,۰۰۰۲۵۰۹۴۰,۰۰۰۲۴۱۸۷۳	۵
						۲

جدول ۵. داده‌های مربوط به مثال‌های عددی سوم.

مثال خط تولید ماشین (دقیقه)	زمان پردازش	نوع خواجی	هزینه فضای مساحت	تفاضلی تصادفی خط $N(\mu, \sigma)/U(l, u)$	راه اندازی مورد نیاز	نوع توزیع تقاضا (u)	کل بودجه		کل	
							حد چپ	حد راست	خط	هر خط
$N(1450000, 2200)$	نرمال	۵۵	۴۵۰۰۰۰	۰,۰۰۰۲۳ ۰,۰۰۰۱۰۷	۰,۰۰۰۲۵ ۰,۰۰۰۲۴۸	۳	۴	۱	۱	
$N(155000, 1950)$	نرمال	۹۵	۸۰۰۰۰۰	۰,۰۰۰۲۳ ۰,۰۰۰۱۷۸	۰,۰۰۰۱۵ ۰,۰۰۰۱۰۹	۴	۴	۲	۲	
$N(149000, 1850)$	نرمال	۷۵	۸۰۰۰۰۰	۰,۰۰۰۲۳ ۰,۰۰۰۱۸۷	۰,۰۰۰۱۴ ۰,۰۰۰۱۳۴	۳	۵	۱	۱	
$N(151000, 2150)$	نرمال	۶۰	۹۰۰۰۰۰	۰,۰۰۰۲۵ ۰,۰۰۰۱۷۶	۰,۰۰۰۲۲ ۰,۰۰۰۱۸۹	۴	۲	۱	۴	
$N(147000, 2000)$	نرمال	۶۰	۷۰۰۰۰۰	۰,۰۰۰۲۵ ۰,۰۰۰۱۳۷	۰,۰۰۰۲۵ ۰,۰۰۰۲۴۱	۵	۳	۱	۳	
$U(100000, 130000)$	یکنواخت	۶۵	۶۰۰۰۰۰	۰,۰۰۰۲۲ ۰,۰۰۰۲۱۰	۰,۰۰۰۱۴ ۰,۰۰۰۱۱۵	۴	۲	۱	۶	
$U(95000, 124000)$	یکنواخت	۹۵	۸۰۰۰۰۰	۰,۰۰۰۲۵ ۰,۰۰۰۱۷۰	۰,۰۰۰۱۳ ۰,۰۰۰۱۲۴	۵	۲	۱	۷	
$U(110000, 142000)$	یکنواخت	۷۵	۸۰۰۰۰۰	۰,۰۰۰۲۵ ۰,۰۰۰۱۸۰	۰,۰۰۰۱۴ ۰,۰۰۰۱۲۶	۳	۵	۱	۸	
$U(98000, 125000)$	یکنواخت	۶۶	۹۰۰۰۰۰	۰,۰۰۰۱۷ ۰,۰۰۰۱۴۸	۰,۰۰۰۲۹ ۰,۰۰۰۲۸۸	۳	۳	۱	۹	
$U(109000, 146000)$	یکنواخت	۶۵	۸۰۰۰۰۰	۰,۰۰۰۱۱ ۰,۰۰۰۱۰۰	۰,۰۰۰۱۱ ۰,۰۰۰۱۰۳	۳	۲	۱	۱۰	